

図2. HDM+OM10.1 における細胞増殖

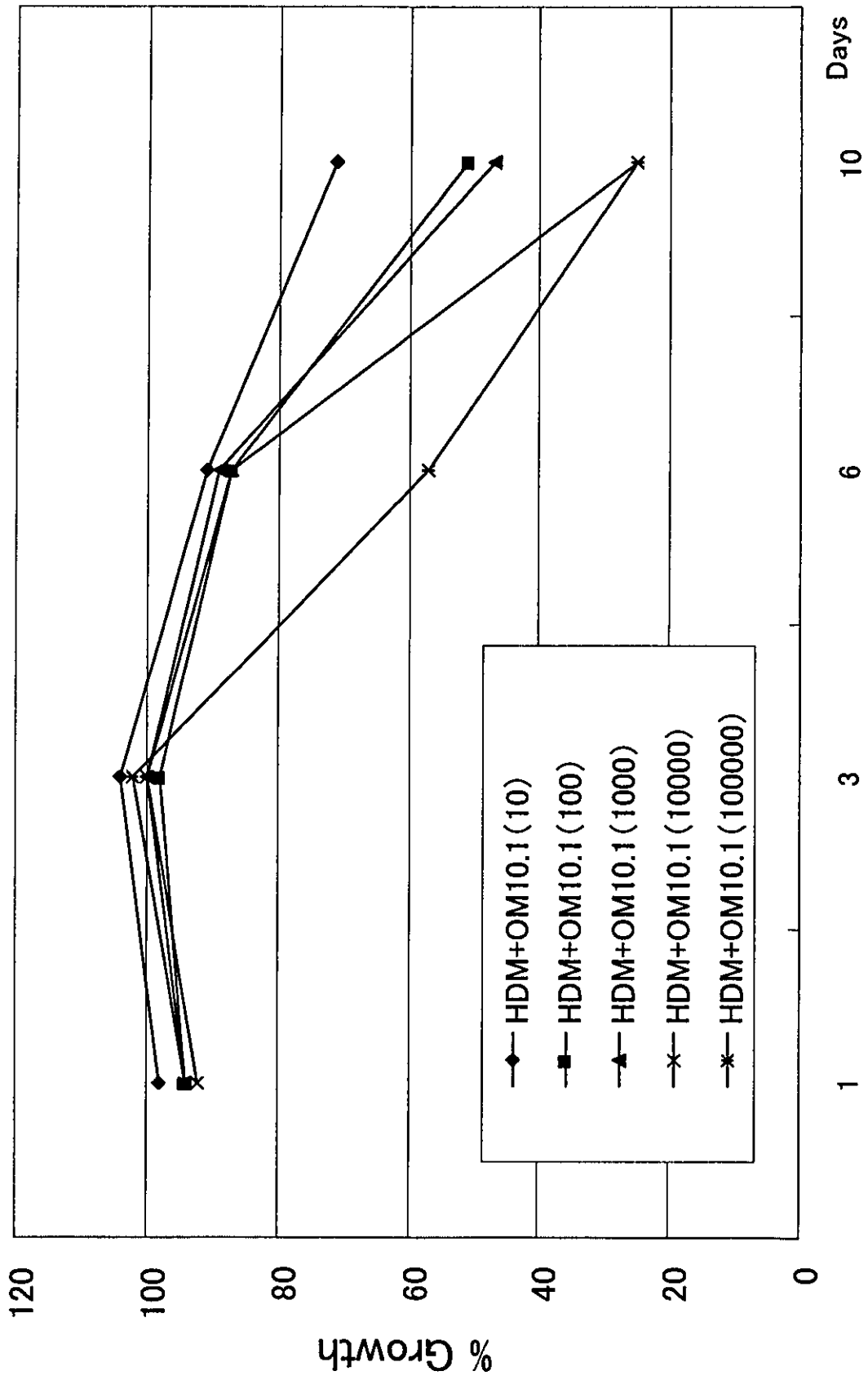
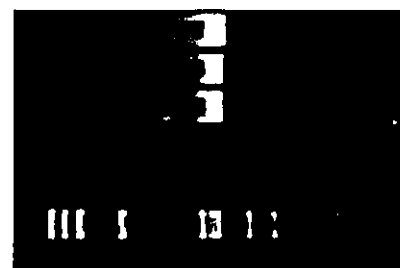
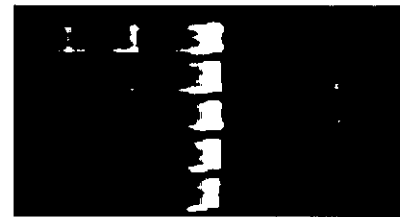
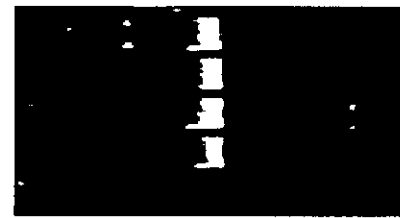
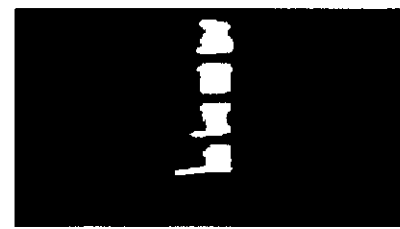


表3. in vitro のHDM におけるOM10.1の HIV-1p24Ag と RT-PCR

days after culture (cells)	1		3		6		10	
	p24Ag	PCR	p24Ag	PCR	p24Ag	PCR	p24Ag	PCR
1. OM10.1 (10 ¹)	0.3	-	0.3	+	0.4	-	0.3	-
2. OM10.1 (10 ²)	0.4	-	0.4	+	0.4	+	0.4	+
3. OM10.1 (10 ³)	0.4	+	0.6	+	0.6	+	1.6	+
4. OM10.1 (10 ⁴)	0.6	+	4.1	+	5.1	+	3.1	+
5. OM10.1 (10 ⁵)	3.6	+	11	+	15.5	+	11.7	+



291bp

1 2 3 4 5

10days

1 2 3 4 5

6days

1 2 3 4 5

3days

M 1 2 3 4 5

1day

図3. HDM+OM10.1における細胞増殖

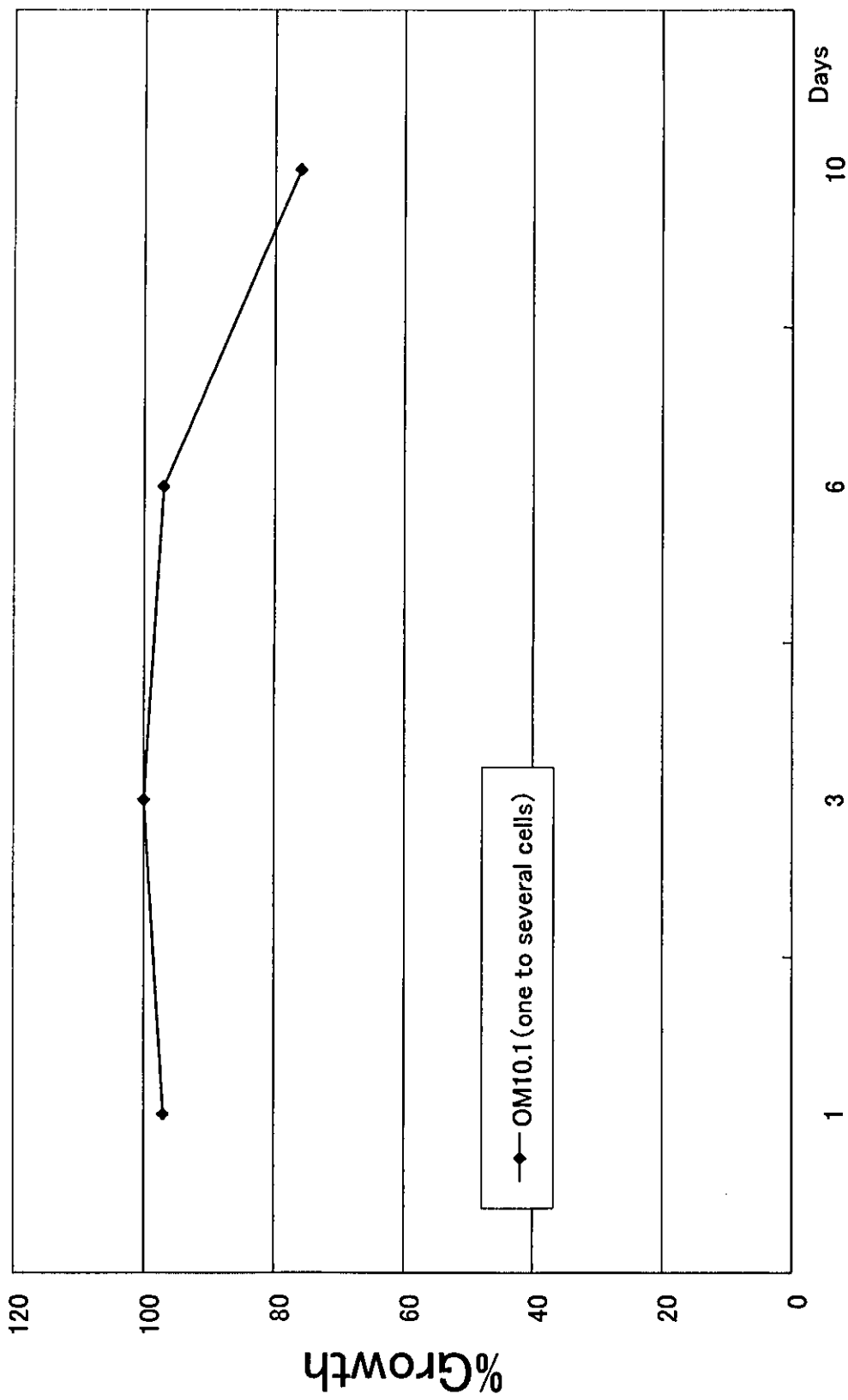


表4. HDM+OM10.1 におけるRT-PCR の結果 (one to several cells)

days after culture	1	3	6	10
HIV positive rate	0/10	0/10	2/10	0/10

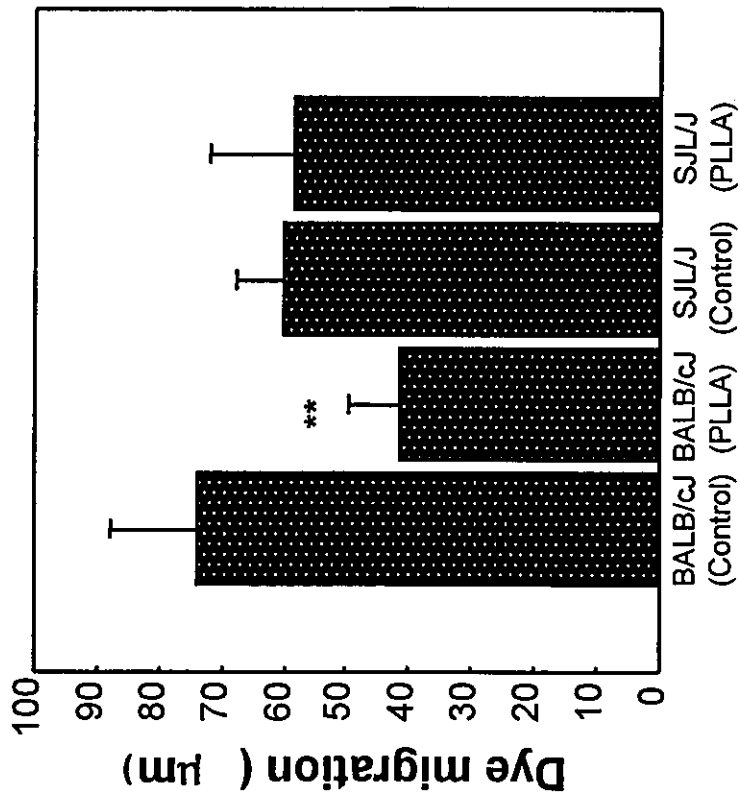


図4 GJICに対するPLLA埋植の影響

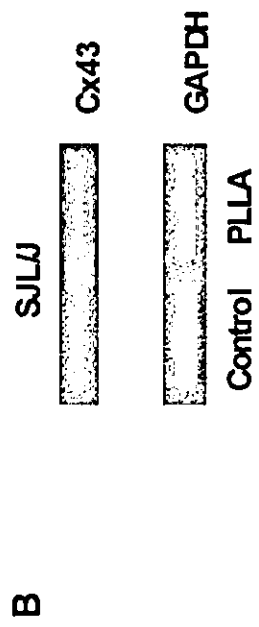
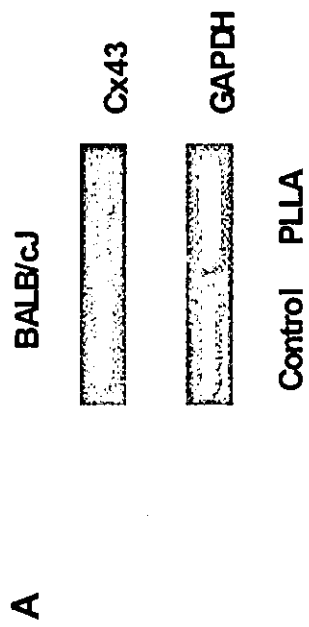


図5 Cx43のmRNA発現レベル

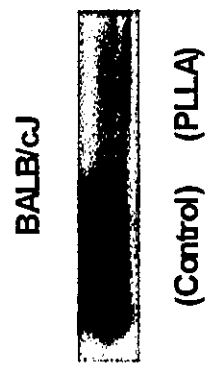


図6 Cx43のタンパク質レベル

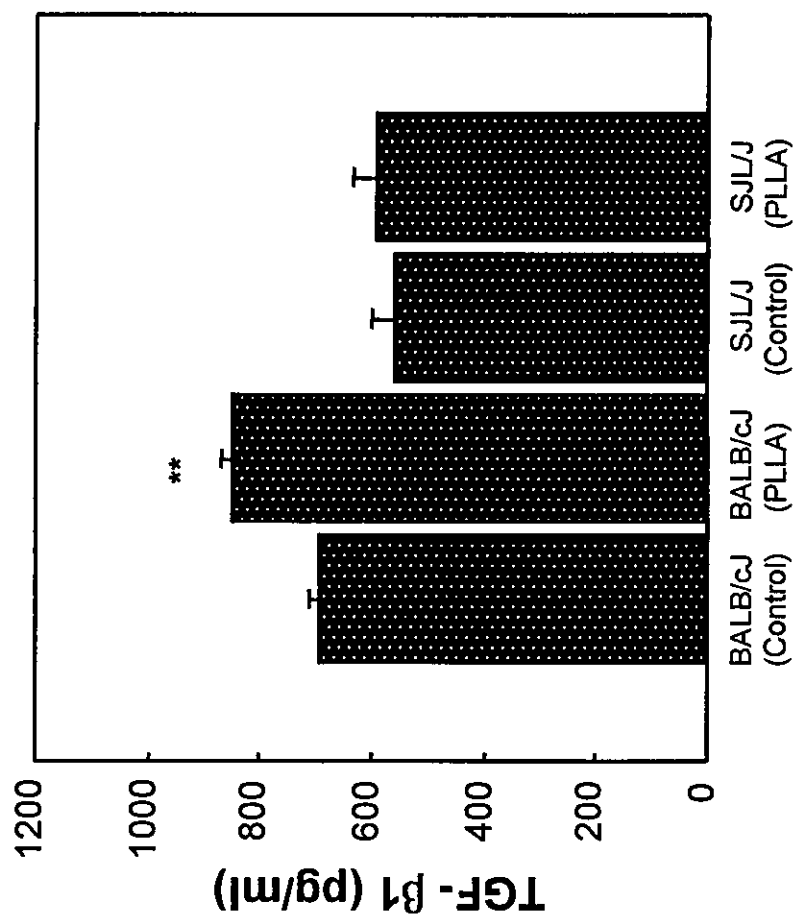


図7 TGF-β分泌に及ぼすPLLA埋植の影響

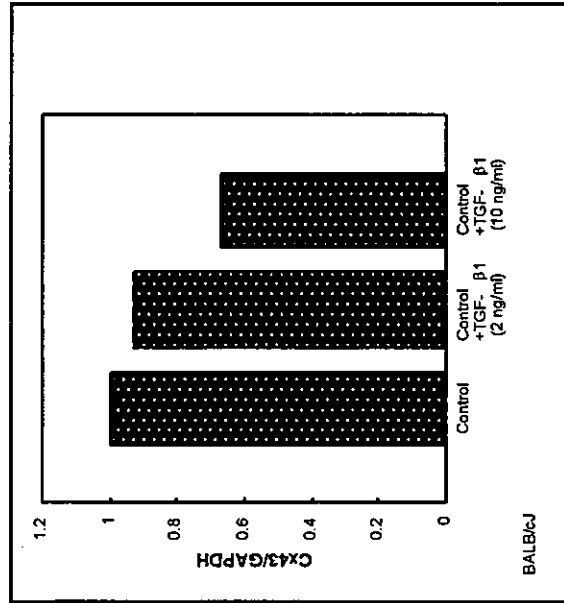
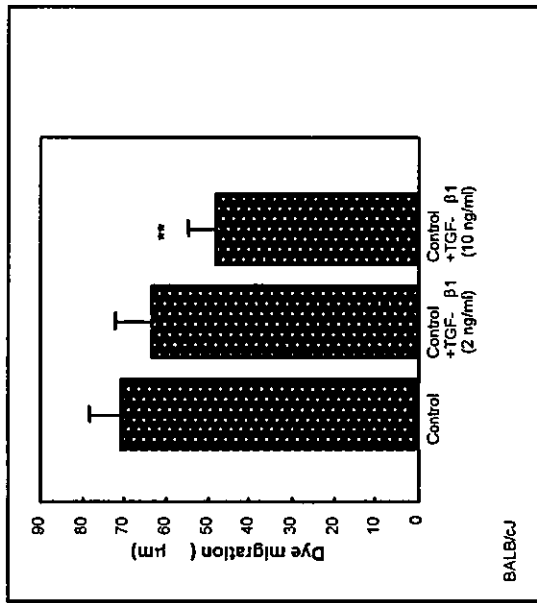
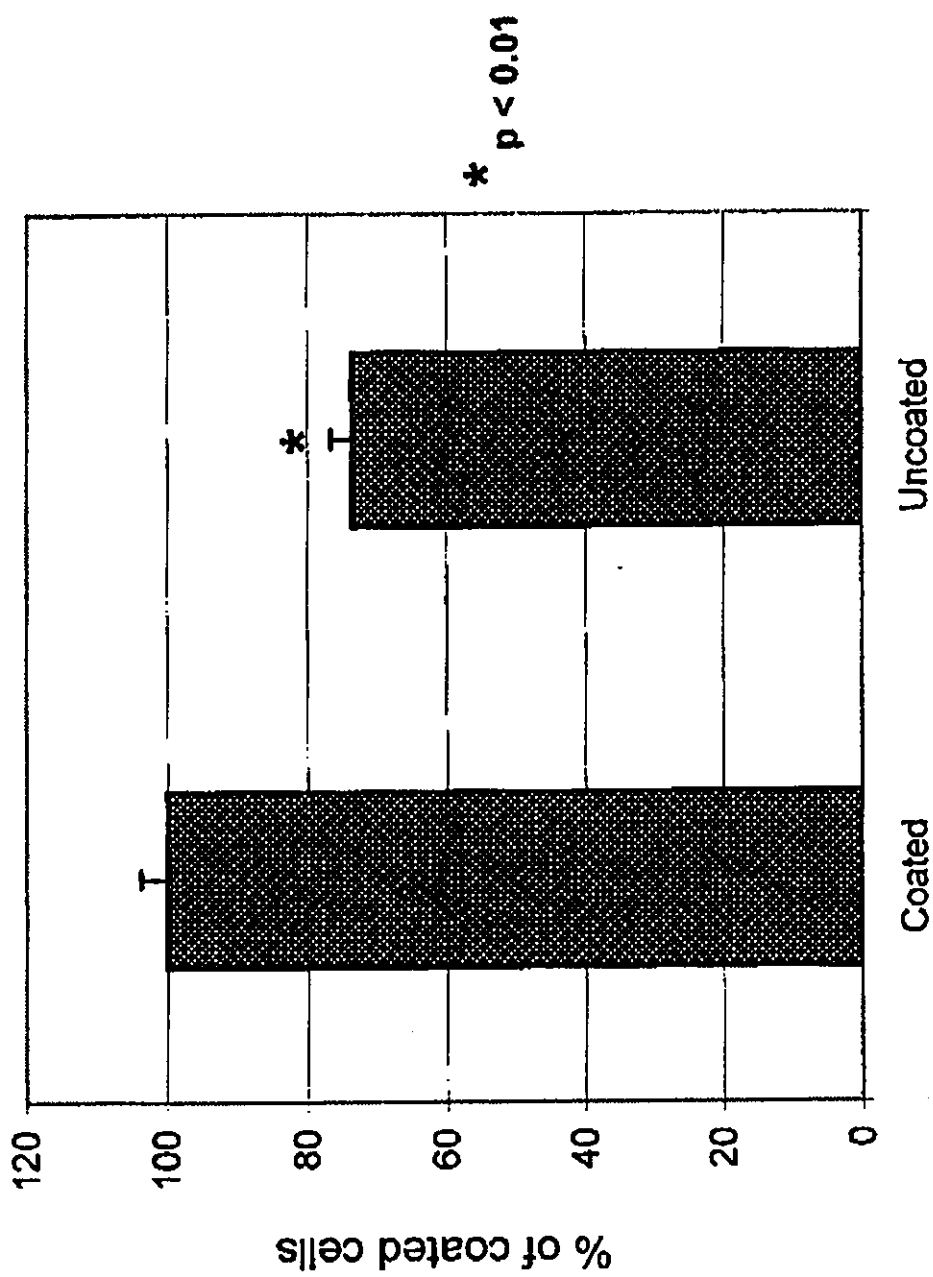


図8 細胞間情報伝達とCx43 mRNA発現に及ぼすTGF-βの影響

Cell Viability Assay



Three days culture

図9 骨髓リンパ球(BML)細胞の生存率

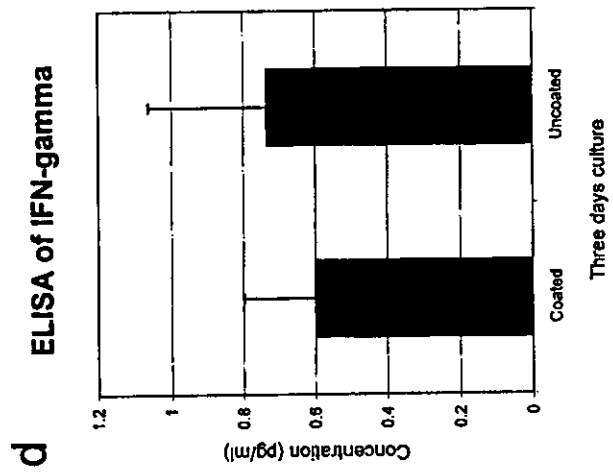
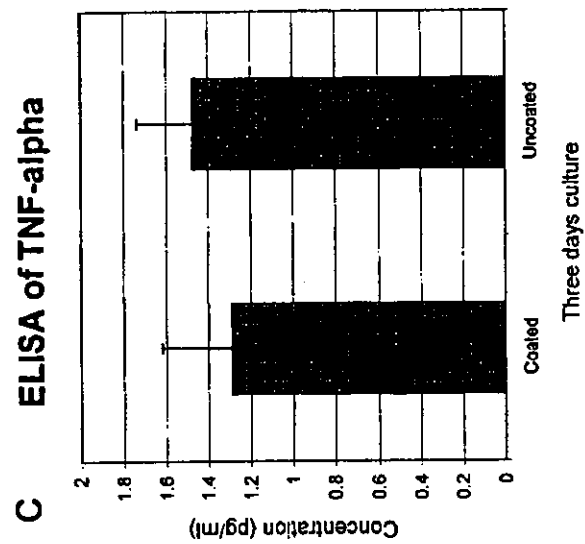
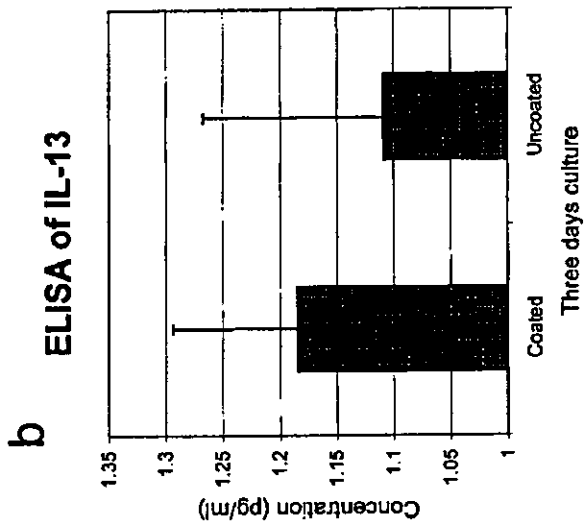
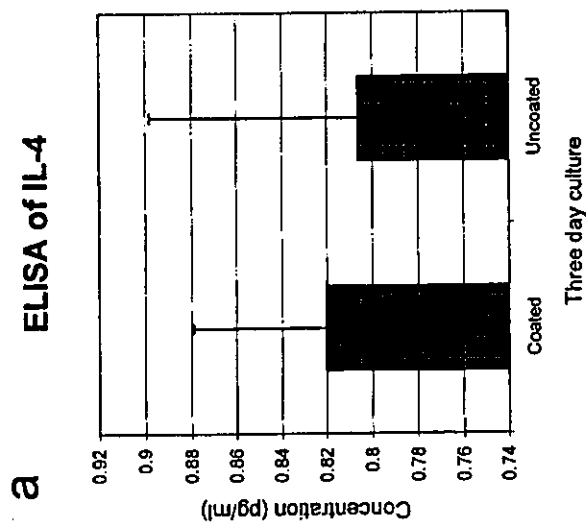
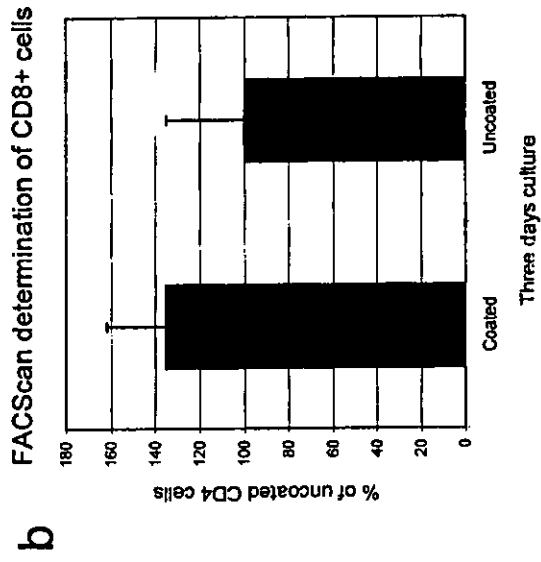
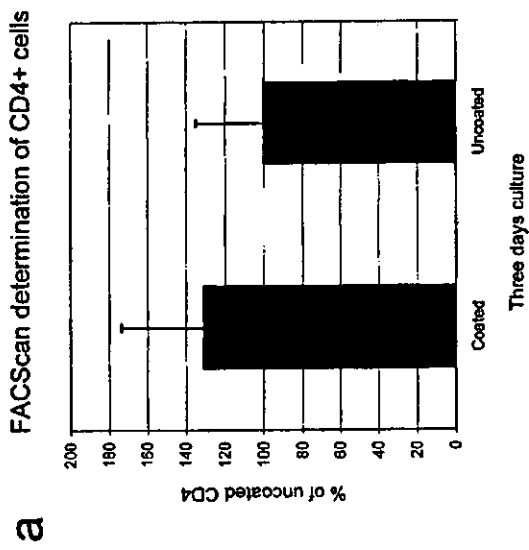


図10 リンパ球細胞中のサイトカイン産生



C FACScan determination of CD4+ and CD8+ cells

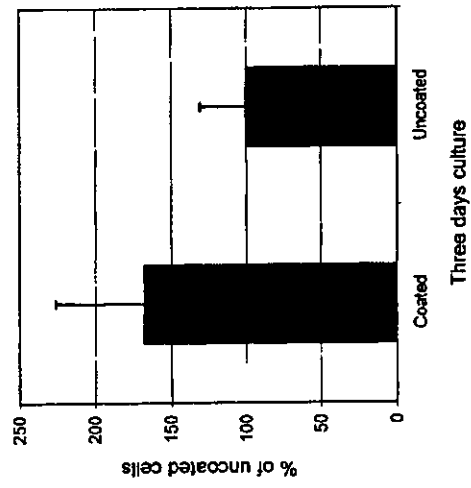


図11 リンパ球細胞中のCD4陽性細胞とCD8陽性細胞の測定

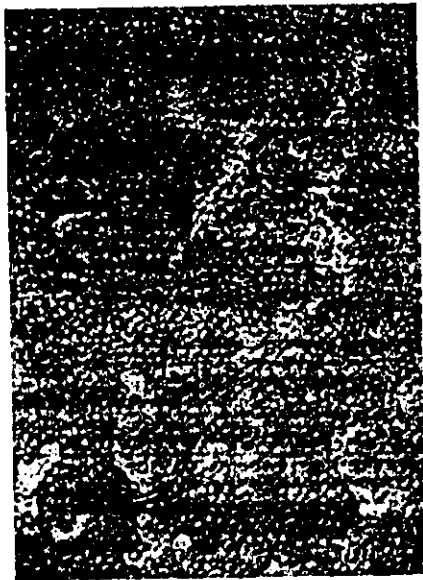


Figure 1 (a).

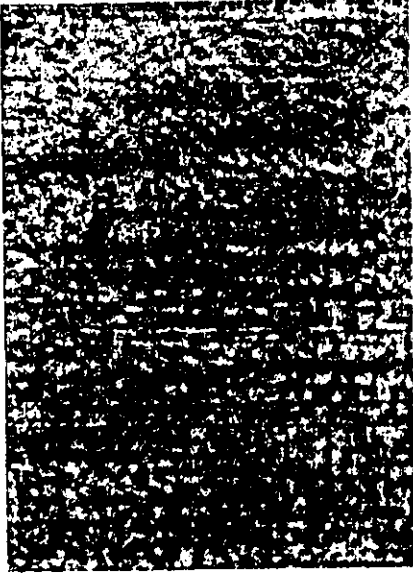


Figure 1 (b).

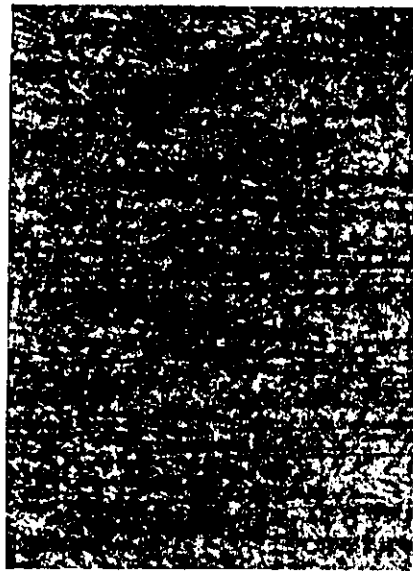


Figure 1 (c).

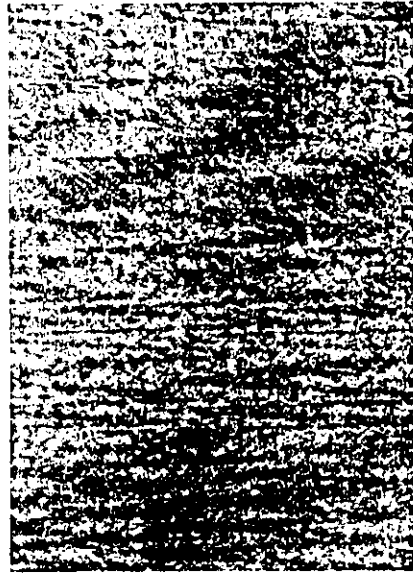


Figure 1 (d).

Figure 1.

図12 ヒト軟骨細胞の形態に及ぼす液性因子等の影響

CELL PROLIFERATION

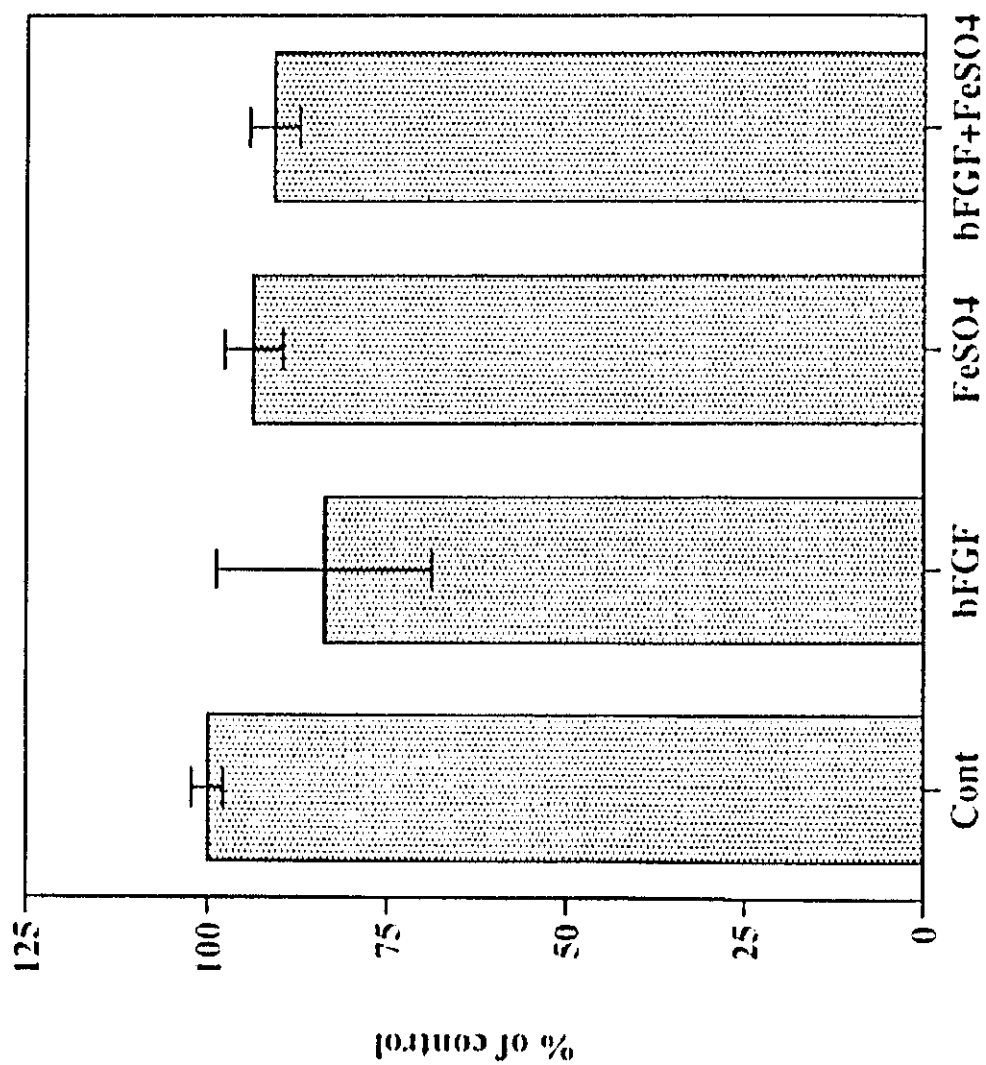


図13 ヒト軟骨細胞の増殖に及ぼす液性因子等の影響について

DIFFERENTIATION INDEX

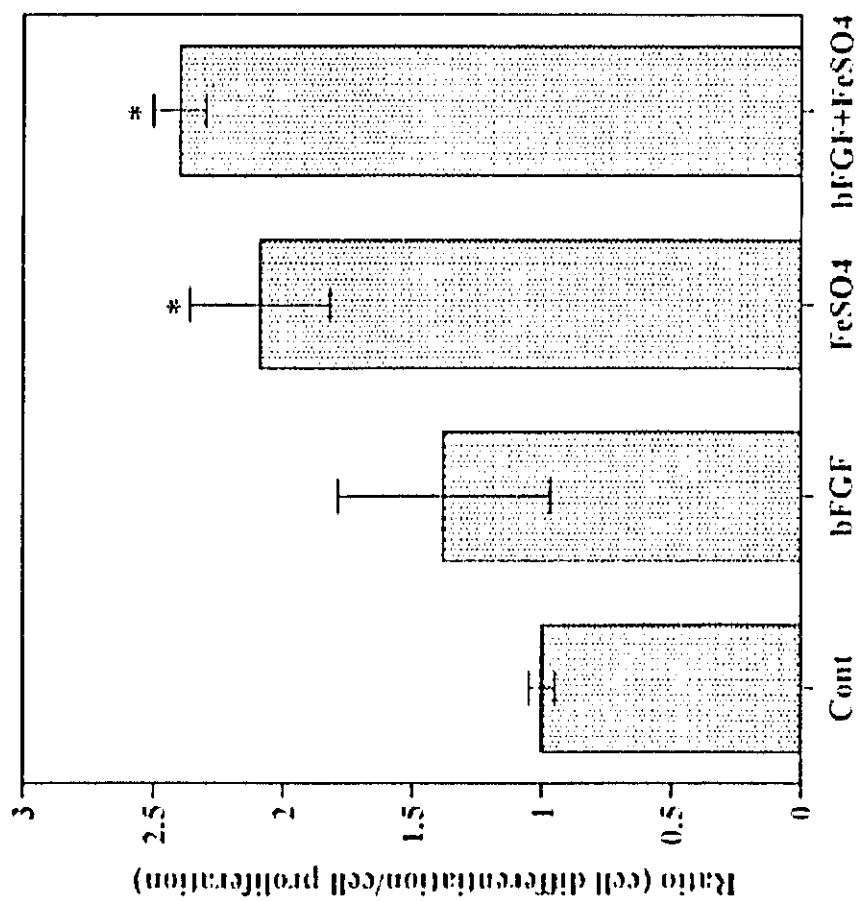


図14 ヒト軟骨細胞の分化に及ぼす液性因子等の影響について

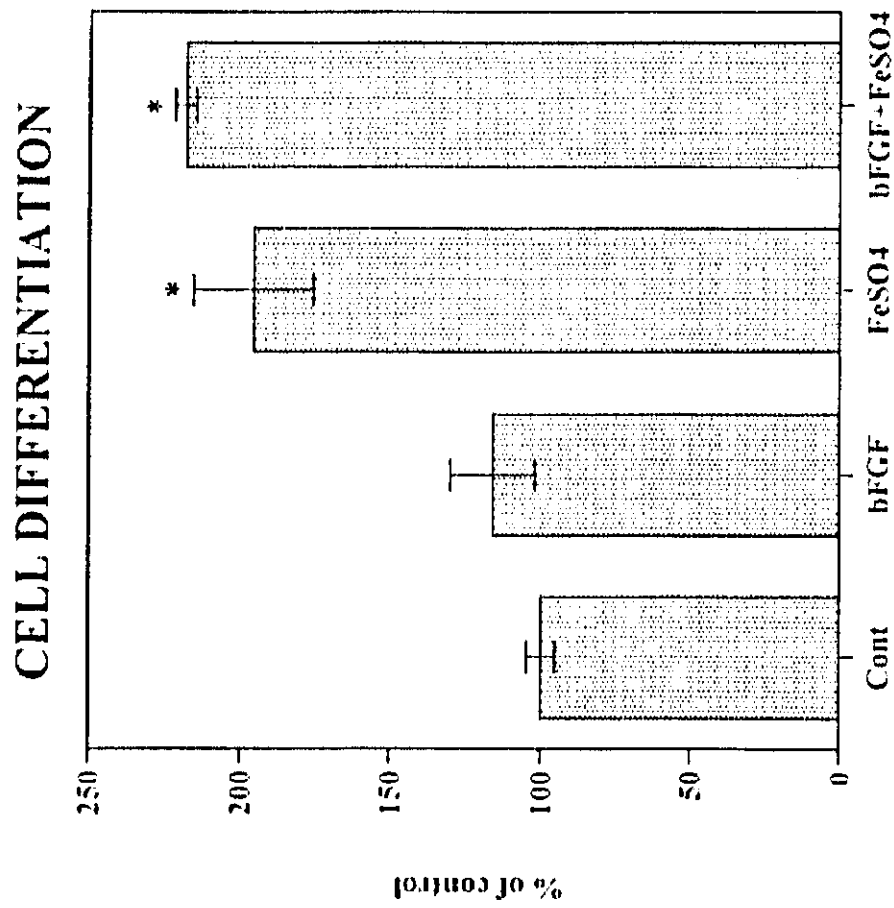


図15 細胞の分化index

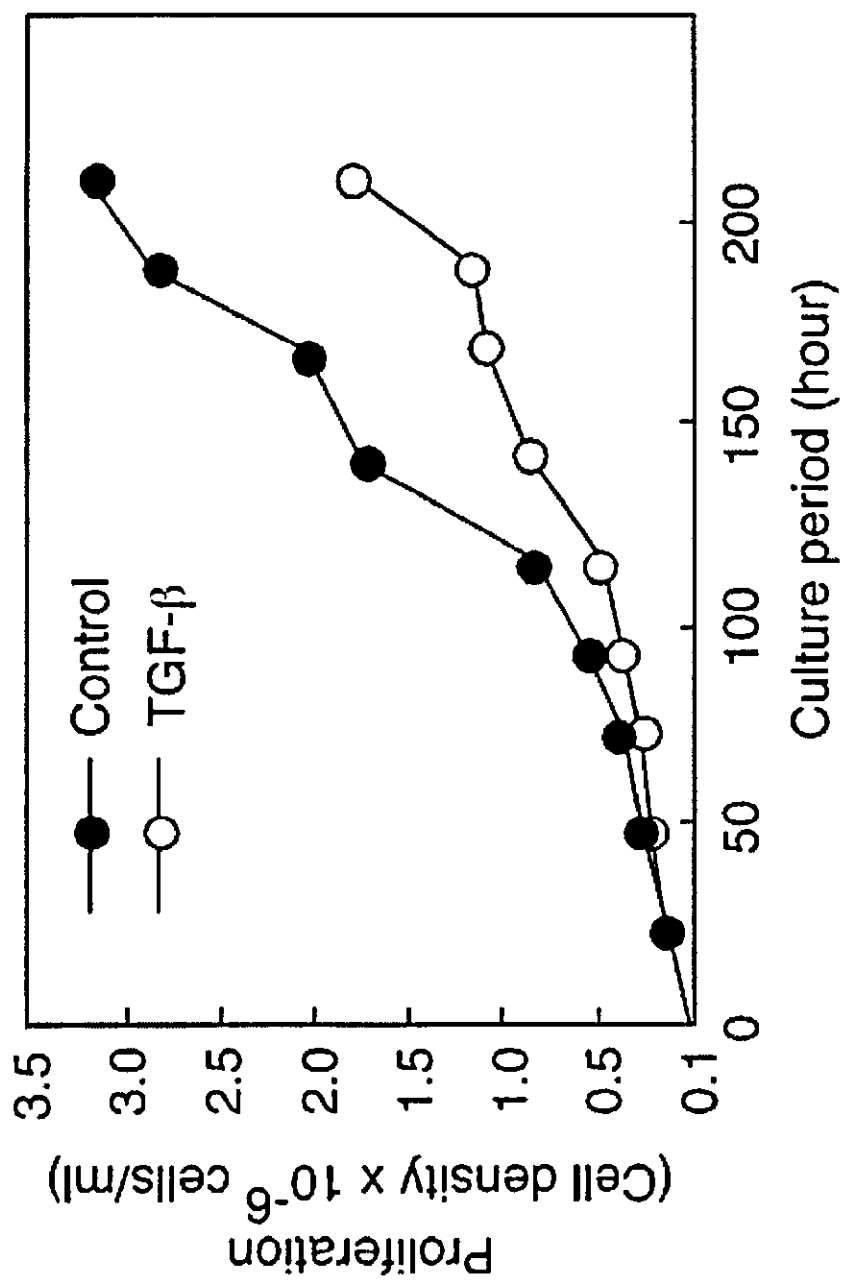


図16 SFME細胞の増殖に及ぼすTGF- β の影響

(A) untreated SFME (B) TGF- β treated SFME

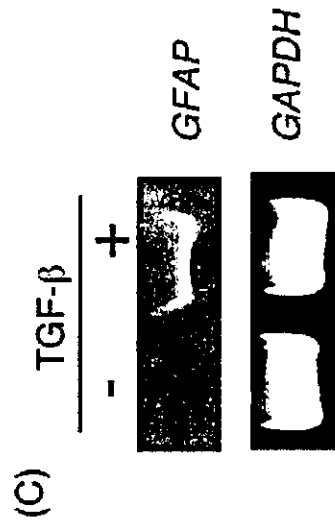
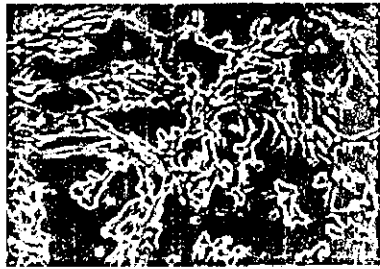


図17 TGF- β 処理によるSFME細胞への影響



図18 SFME細胞におけるテロメラーゼ活性に及ぼすTGF- β の影響

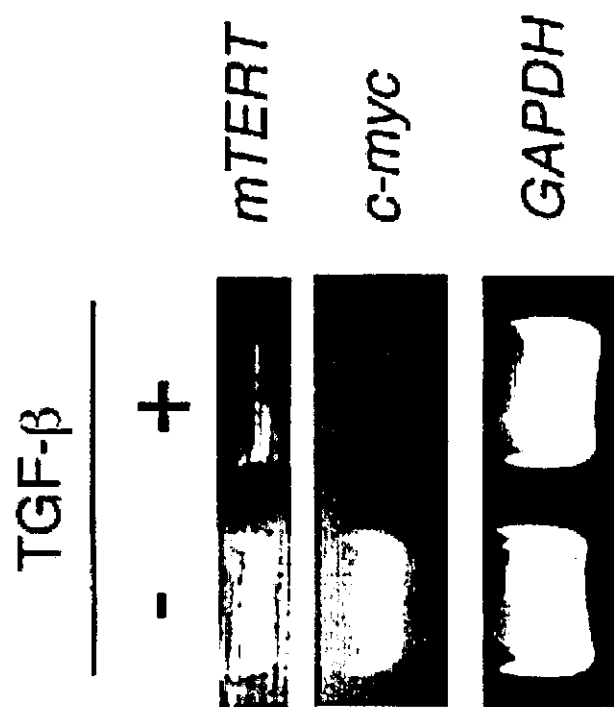


図19 *mTERT* 及び *c-myc* の発現に及ぼす TGF- β の効果

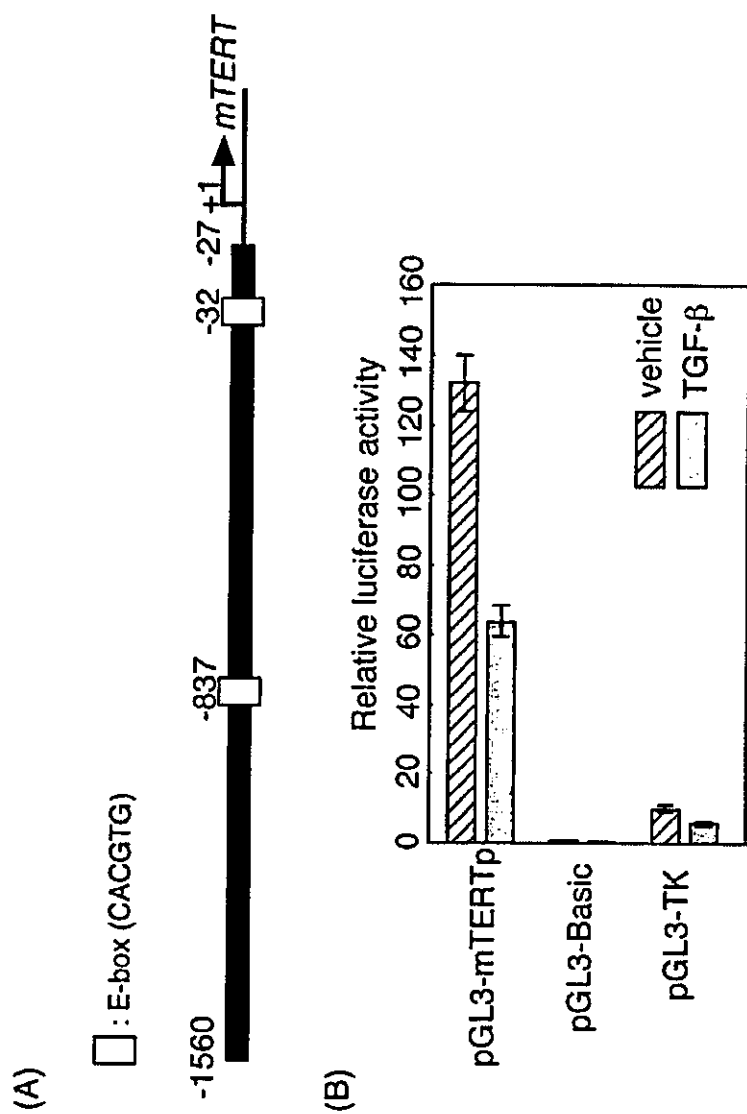


図20 mTERTのプロモーター活性に及ぼすTGF- β の影響